

## مطالعات جغرافیایی مناطق خشک

سال چهارم، شماره سیزدهم، پاییز ۱۳۹۲

دریافت مقاله: ۹۱/۱۲/۱۸ تأیید نهایی: ۹۲/۳/۲۶

صفحه ۱-۱۶

## برآورد حداکثر بارش محتمل به روش سینوپتیکی در استان کرمانشاه

فیروز مجرد<sup>\*</sup>، دکترای اقلیم‌شناسی، استادیار گروه جغرافیای دانشگاه رازی کرمانشاه

جعفر معصوم‌پور، دکترای اقلیم‌شناسی، استادیار گروه جغرافیای دانشگاه رازی کرمانشاه

### چکیده

برآورد حداکثر بارش محتمل از جمله تحقیقات کاربردی و مهمی است که علاوه بر شناسایی رفتار بارش‌های حدتی در آب‌وهواشناسی، در طراحی سازه‌های بزرگ آبی به-خصوص سدها مورد توجه هیدرولوژیست‌هاست. در این پژوهش، به منظور برآورد حداکثر بارش محتمل در استان کرمانشاه از روش سینوپتیکی استفاده شده است. به این منظور پس از جمع‌آوری و پردازش امّا، بارش روزانه ۵ ایستگاه استان، تعداد سه توفان انتخاب و با انجام بیشینه‌سازی‌های دمای نقطه شبنم و سرعت باد و محاسبه ضریب رطوبت، مقدار حداکثر بارش محتمل برای منطقه با تداوم‌های ۲۴، ۴۸ و ۷۲ ساعته در دوره‌های بازگشت ۵۰ و ۱۰۰ ساله برآورد گردید. برای سه تداوم فوق در این دو دوره بازگشت به ترتیب برابر با ۲۴۶ میلی‌متر، ۲۸۷ و ۳۵۷ میلی‌متر و ۳۴۰ و ۴۳۹ میلی‌متر بود. پس از اخذ داده‌های ترازهای مختلف جوی از NCEP/NCAR، نقشه‌های فشار سطح دریا، ارتفاع ژوپیتانسیل، مؤلفه‌های باد مداری و نصف‌النهاری و رطوبت نسبی، ترسیم و به کمک آنها ساما، نه‌های بارش‌زا در روزهای توفانی از روز شروع توفان تا خاتمه آن تجزیه و تحلیل شدند. بررسی نقشه‌های سینوپتیکی- دینامیکی مشخص کرد که در خلال وقوع توفان‌های شدید، منطقه مورد مطالعه تحت تأثیر ساما، نه‌های کم ارتفاع دینامیکی ناشی از ساما، نه‌های بندالی امکاًشکل قرار داشته که سبب بارندگی‌های شدید در استان شده است. این توفان‌ها نتیجه تقویت و تشدید فعالیت مرکز چرخند مدیترانه‌ای و ادغام آن با مرکز چرخند نواحی قطبی از عرض‌های بالا بوده است. همچنین این ساما، نه‌ها از شرق دریای مدیترانه، دریای سرخ و خلیج فارس تغذیه رطوبتی می‌شده‌اند.

### واژگان کلیدی

برآورد، حداکثر بارش محتمل، سینوپتیک، پیشینه‌سازی، دمای نقطه شبنم، استان

کرمانشاه

#### ۱- مقدمه

مطالعه در خصوص برآورد حداکثر بارش محتمل<sup>۱</sup> و در نهایت حداکثر سیلاب محتمل<sup>۲</sup>، نیاز به ترکیب و تلفیق داده‌های هواشناسی، هیدرولوژیکی و جغرافیایی دارد. جغرافیدانان به دلیل نگرش خاص سیستمی که به مسئله دارند، قادری باشند به نحو مطلوب از عهده این تلفیق برآیند. "حداکثر بارش محتمل، به لحاظ نظری بیشترین ارتفاع بارش است که با تداوم زمانی معین می‌تواند درگستره توفانی مشخص در یک مکان جغرافیایی خاص و زمان معینی از سال رخ دهد"<sup>(WMO, 1986:1)</sup>. مطالعه حداکثر بارش محتمل برای ارزیابی و برآورد سیلاب محتمل به منظور طراحی سازه‌های هیدرولوژیکی از قبیل کانال‌های آبیاری و زهکشی، سیستم‌های جمع‌آوری و دفع فاضلاب شهری، سدها، پل‌ها و تعیین حداکثر مقدار آبی که وارد مخازن سرریز یا سایر تأسیسات می‌شود، ضروری است. از طریق برآورد زمان وقوع و مقدار حداکثر بارش محتمل و شناسایی ابعاد سینوپتیکی توفان‌های بوجود آوردن بارش‌های شدید و تحلیل ریسک‌های موجودی توان ضمن استفاده بهینه از منابع آب، تا حد زیادی جلوی خسارات وارد را گرفت. با توجه به توضیحات فوق و درک اهمیت مطالعه، هدف اصلی این مقاله، برآورد سینوپتیکی حداکثر بارش محتمل در استان کرمانشاه به عنوان استانی نسبتاً پریاران در منطقه زاگرس و تحلیل الگوهای مربوط می‌باشد. مدل سینوپتیکی، بر اساس داده‌های هواشناسی سطح زمین و با توجه به خصوصیات فیزیکی توفان‌ها، پتانسیل حداکثر آب قبل بارش را برای موقعیت زمانی و مکانی خاص ارائه می‌دهد. شرط لازم برای اجرای مدل سینوپتیکی، توجه به حالت‌های حداکثر تقرب هوا و به عبارت دیگر، توفان‌های شدید و فراغیر است.

#### ۲- پیشینه تحقیق حداکثر بارش محتمل

در زمینه برآورد حداکثر بارش محتمل در داخل کشور مطالعات چندی صورت گرفته است. صالحی پاک (۱۳۷۸: ۱۷) برای برآورد سینوپتیکی حداکثر بارش محتمل در حوضه آبریز سد ماملو از اماه ۱۵ ایستگاه استفاده و مقادیر آن را با تداوم‌های ۲۴، ۲۶ و ۹۶ ساعته و نیز مقدار مربوط به شدیدترین توفان را برای کل حوضه محاسبه کرد. مشایخی (۱۳۸۰: ۲۳) مقادیر حداکثر بارش محتمل را در منطقه البرز مرکزی با استفاده از اطلاعات ۱۳۹ ایستگاه هواشناسی با دو روش آماریو سینوپتیکی به دست آورد. خلیلی (۱۳۸۱: ۲۵) در طرح آبخیزداری حوضه طالقان، مقادیر حداکثر بارش محتمل را به روش آماریو سینوپتیکی برآورد و ارقام حاصل را با هم مقایسه کرد. خلیلی و سپاسخواه (۱۳۸۱: ۱۱-۱) پس از محاسبه و مقایسه مقادیر حداکثر بارش ۲۶ ساعته ایران با روش‌های آماری و سینوپتیک به این نتیجه رسیدند که برآوردهای آماریو سینوپتیک دارای اختلاف می‌باشند. آنان با واسنجی روش بتلاهمی<sup>۳</sup> بیان نمودند که این روش نزدیک‌ترین برآوردها را به روش سینوپتیک ارائه می‌دهد. در انتهای ضمن توصیه روش سینوپتیک به عنوان بهترین روش برآورد، با استفاده از روش بتلاهمی اصلاح شده کمترین مقدار حداکثر بارش ۲۶ ساعته را برای مناطق مرکزی ایران ۱۱۰ میلی‌متر و بیشترین آن را برای مناطق شمالی و جنوبی ایران ۲۶۰ میلی‌متر برآورد نمودند. حبیبی (۱۳۸۵: ۶۹) ساما، نه-

<sup>۱</sup>- Probable Maximum Precipitation (PMP)

<sup>۲</sup>- Probable Maximum Flood (PMF)

<sup>۳</sup>-Bethlahmy

هایبندالی تشکیل شده در اقیانوس اطلس، به ویژه منطقه دریای مدیترانه را که منجر به چرخندزایی در شرق مدیترانه شده و پیامدهای شان ایران را تحت تأثیر قرار می‌دهد، بررسی کرد. وی در تحقیق دیگر خود (۱۳۸۶: ۱۰۹) نقش ساماً، نهایبندالی را در چرخندزایی بر روی شرق دریای مدیترانه و اثری که بر سیل غرب ایران در مارس ۲۰۰۰ داشت، بررسی نمود و به این نتیجه رسید که ناوۀ جناح شرقی ساماً، نهایبندالی اقیانوس اطلس، عامل اصلی جاری شدن سیل در مناطق غرب ایران بوده است. فتاحی و قائمی (۱۳۸۶: ۱) مقادیر حدّاًکثر بارش محتمل را در ایستگاه‌های جنوب‌غرب ایران با روش‌های اما، ری و نیز روش‌های سینوپتیکی مبتنی بر فاکتور بیشینه‌سازی باد و رطوبت، برآورد و با هم مقایسه کردند. نتایج کار آنان نشان داد که حدّاًکثر بارش محتمل حاصل از روش اوّل هرشفیلد، مقادیر بالاتری را نسبت به روش همگرایی دارد؛ در حالی که روش دوم هرشفیلد با حذف مقادیر خارج از مرز، به مقادیر حاصل از روش همگرایی نزدیک است. ذوق‌الفقاری و همکاران (۱۳۸۷: ۳۸۸) حدّاًکثر بارش محتمل را در حوضه آبخیز اراک (کویر میقان) با استفاده از داده‌های ۳۰ ساله ۲۱ ایستگاه، مطالعه و با انتخاب شش توفان، مقادیر حدّاًکثر بارش محتمل را از طریق بیشینه‌سازی دمای نقطه شبنم و بادبا تداوم‌های زمانی ۲۴، ۴۸ و ۷۲ ساعته به ترتیب ۸۸، ۱۶۲ و ۱۷۴ میلی‌متر برآورد نمودند. سلطانی و همکاران (۱۳۸۷: ۱) با استفاده از روش اما، ری هرشفیلد، حدّاًکثر بارش محتمل ۲۴ ساعته ایستگاه‌های تهران- شمال، دوشان‌تپه، ژئوفیزیک و مهراًباد را به ترتیب ۲۱۶، ۱۶۲، ۲۱۰ و ۱۹۲ میلی- متر محاسبه کردند. صدقی و علیزاده (۱۳۸۷: ۶) در حوضه آبریز کارون، نقش مقدار و تداوم PMP و تغییر شماره منحنی (CN) را بر روی هیدروگراف حدّاًکثر سیل محتمل مطالعه نمودند و به این نتیجه رسیدند که الگوی توزیع زمانی و همچنین تغییر مقادیر CN بر روی هیدروگراف سیل تأثیر بسزایی دارد. فتاحی و ادراکی (۱۳۸۹: ۱) حدّاًکثر بارش محتمل را در حوضه رودخانه اختیاری به روش سینوپتیکی- همگرایی مطالعه و مقادیر آن را برای سه توفان شدید و فراغیر منجر به سیل‌های عمدۀ برآورد کردند. عزیزی و حنفی (۱۳۸۹: ۶۴) مقادیر حدّاًکثر بارش محتمل را در حوضه آبریز آجی‌چای (تلخه‌رود) به روش سینوپتیکی از طریق بیشینه‌سازی دمای نقطه شبنم و بادبا تداوم‌های یک تا سه‌روزه‌در دوره‌های بازگشت ۵۰ و ۱۰۰ سال، بین ۶۸ تا ۱۲۹ میلی‌متر برآورد کردند. عزیزی و همکاران (۱۳۹۱: ۱۰۹) در بررسی نقش الگوهای بندالی در ایجاد بارش‌های شمال‌شرق ایران، رخدادهای بارشی با شدت‌های متوسط و زیاد را در یک بازه ۱۱ ساله بررسی و بر نقش انکار نکردنی الگوهای بندالی اطلس و غرب اروپا در ایجاد بیش از ۶۵ درصد از رخدادهای بارش‌های متوسط و شدید منطقه تأکید کردند. عباسی و قائمی (۱۳۹۲: ۱۴۵) مقادیر حدّاًکثر بارش محتمل را در حوضه آبریز رودخانه کرج با استفاده از اما، ۵ ایستگاه سینوپتیک به روش سینوپتیکی با تداوم‌های ۲۴ و ۴۸ ساعته به ترتیب ۱۴۱ و ۲۵۵ میلی‌متر برآورد کردند.

سابقه مطالعه حدّاًکثر بارش محتمل در خارج از کشور به مدت‌ها قبل باز می‌گردد. به‌نحوی که از نیمه دهه ۱۹۳۰ استفاده از علم هواشناسی برای محاسبه مقادیر بارش به منظور طراحی‌های هیدرولوژی مورد توجه قرار گرفت. برخی از مطالعات خارجی به این شرح هستند. Rakhecha et al. (1995: 67) در حوضه رودخانه سوبارnarخا<sup>۱</sup> در شرق هندوستان حدّاًکثر بارش محتمل را با تداوم یک، دو و سه‌روزه به ترتیب ۵۳، ۷۸ و ۹۸ میلی‌متر محاسبه کردند. Collier and Hardaker (1996: 277) در انگلستان با استفاده از مدل توفان سیستم- های هم‌رفتی، مقادیر حدّاًکثر بارش محتمل را برآورد کردند. Svensson and Rakhecha (1998: 79) در حوضه

<sup>۱</sup>-Subarnarekha

رودخانه هونگرو در شرق چین حداکثر بارش محتمل را به روش سینوپتیکی برای دوره‌های یک، دو و سه‌روزه به ترتیب ۴۶۰، ۶۹۰ و ۸۷۰ میلی‌متر محاسبه کردند. (Campos and Francisco 1998: 45) حداکثر بارش محتمل را در سن لوئیس پوتوسی<sup>۱</sup> مکزیک برآورد نمودند. مدل آنان برای بارش‌های با تداوم کم تراز ۱۱ ساعت ارقام خوبی را برآورد کرد. اما، برای تداوم‌های بیشتر از آن، برآوردها بسیار بالا بود. آنان این احتمال را مطرح کردند که ممکن است بارش‌های با تداوم زمانی طولانی‌تر با سیستم‌های هموفتی متواتط مقیاس هماراهی شده باشد. (Rakhecha and Clark 1999: 343) بر مبنای بیشینه‌سازی محلی و روش انتقال توفان، حداکثر بارش محتمل را به روش سینوپتیکی برای هند مطالعه کردند که نتایج حاصله در مناطق مختلف، از ۷۰ تا ۱۷۰ سانتی‌متر برای یک‌روز تغییر می‌کرد. همچنین برآوردهای مربوط به روش آماری هرشفیلد به میزان قابل توجهی بیشتر بود. (Rakhecha and Clark 2000: 19) در مطالعه‌ای در مناطق مختلف هند حداکثر بارش محتمل را به روش سینوپتیکی با تداوم‌های دو و سه‌روزه تعیین کردند که نتایج حاصل از ۱۰۰ تا ۲۹۰ سانتی‌متر برای تداوم دوروزه و ۱۲۰ تا ۳۷۰ سانتی‌متر برای تداوم سه‌روزه تغییر می‌کرد. (Daglass and Barouse 2003: 1012) با استفاده از شیوه‌های تحلیل چندبخشی، به برآورد حداکثر بارش محتمل در شرق ایالات متحده پرداخته و سپس تفاوت‌های زمانی و مکانی را ارزیابی نمودند. (Ohara et al 2011: 351) با استفاده از مدل MM5<sup>۲</sup> و با داده‌های اخذ شده از NCAR مقدار حداکثر بارش محتمل ۷۲ ساعته را برای یک توفان منجر به سیلاب در یکی از حوضه‌های آبریز ایالت کالیفرنیا ایالات متحده در حدود ۵۵۰ میلی‌متر برآورد کردند. (Tingsanchali and Tanmanee 2012: 1198) در حوضه آبریز رودخانه مائمه‌سره‌روای<sup>۳</sup> تایلند با استفاده از دو روش آماری و بیشینه‌سازی توفان، مقادیر حداکثر بارش محتمل را با تداوم های یک، دو و سه‌روزه به منظور برآورد حداکثر سیلاب محتمل جهت کاربرد در سدادهای شده بر روی همان رودخانه محاسبه کردند و در نهایت روش بیشینه‌سازی توفان را برای برآورد مناسب‌تر تشخیص دادند. با جمع‌بندی مطالعات فوق معلوم می‌شود که در سالیان اخیر استفاده از مدل‌های گردش عمومی جو و روش‌های سینوپتیک مبتنی بر بیشینه‌سازی باد و دمای نقطه شبنم و انتقال توفان، در برآورد حداکثر بارش محتمل با تداوم‌های چند ساعته تا چند روزه برای مقاصد کاربردی توسعه قابل توجهی پیدا کرده است و برتری خاصی بر سایر روش‌ها دارد.

### ۳- مواد و روش‌ها

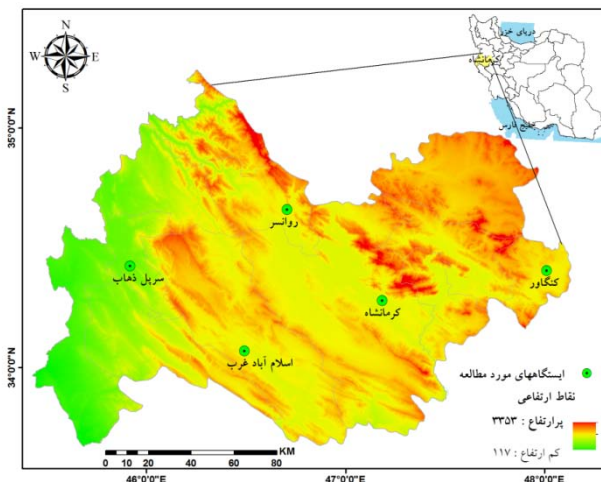
#### ۳-۱- منطقه مورد مطالعه

استان کرمانشاه با مساحت ۲۴۹۹۸ کیلومتر مربع در غرب کشور بین عرض‌های جغرافیایی<sup>۴</sup> ۳۳° تا ۳۶° شمالی و طول‌های جغرافیایی<sup>۵</sup> ۴۵°۲۴' تا ۴۸°۳۰' شرقی قرار گرفته است. این استان از شمال به استان کردستان، از جنوب به استان‌های لرستان و ایلام، از شرق به استان همدان و از غرب به کشور عراق محدود می‌شود. موقعیت استان کرمانشاه در کشور و نیز موقعیت جغرافیایی ایستگاه‌های مورد استفاده در شکل ۱ و مشخصات آماری<sup>۶</sup> ایستگاه مورد استفاده در جدول ۱ نشان داده شده است.

<sup>۱</sup>-San Luis Potosi

<sup>۲</sup>- fifth generation mesoscale model

<sup>۳</sup>- Mae Sruai



شکل ۱- موقعیت جغرافیایی ایستگاه‌های مورد استفاده در استان کرمانشاه (ترسیم از نگارندگان)

جدول ۱- مشخصات ایستگاه‌های هواشناسی مورد استفاده در استان کرمانشاه

ردیف	نام ایستگاه	طول جغرافیایی	عرض جغرافیایی	ارتفاع (متر)	نوع ایستگاه
۱	کرمانشاه	۴۷° ۹'	۳۴° ۲۱'	۱۳۱۸/۶	سینوپتیک
۲	اسلام آباد غرب	۴۶° ۳۹'	۳۴° ۴۳'	۱۳۴۹	سینوپتیک
۳	کنگاور	۴۵° ۵۲'	۳۴° ۲۷'	۱۴۶۸	سینوپتیک
۴	روانسر	۴۶° ۳۹'	۳۴° ۴۳'	۱۳۸۰	سینوپتیک
۵	سarpel-e-Zehab	۴۵° ۵۲'	۳۴° ۲۷'	۵۴۵	سینوپتیک

### ۲-۳- گردآوری داده‌ها و استخراج اطلاعات توفان‌های منتخب

برای برآورد سینوپتیکی حدّاًکثر بارش محتمل در استان کرمانشاه، ابتدا آمار روزانه، ماهانه و سالانه بارش ایستگاه‌های منتخب استان در یک بازه زمانی ۳۰ ساله (۱۹۷۰-۲۰۰۹) از اداره کل هواشناسی استان کرمانشاه اخذگردید. در ادامه، بهدلیل حجم زیاد داده‌ها(۸) دیده‌بانی در طی شبانه‌روز، با استفاده از نرم‌افزار spss کدهای مربوط به ثبت توفان(بارش همراه با تگرگ) طی دوره مورد مطالعه از سایر کدهای هواشناسی جدا شدو مورد پردازش قرار گرفت. پس از پردازش‌های مورد نظر، تعداد سه توفان به عنوان شدیدترین توفان‌ها استخراج و اطلاعات نقطه‌ای این توفان‌های استفاده از نرم‌افزار ArcGIS به صورت نمودارهای ستونی توأم با اعداد بارش-های سیلابی ایستگاه‌ها، بر روی نقشه منطقه منتقل گردید.

### ۳-۳- بیشینه‌سازی حدّاًکثر دمای نقطه شبنم

برای برآورد حدّاًکثر بارش محتمل یک توفان، بیشینه‌سازی دمای نقطه شبنم و حدّاًکثر سرعت باد اهمیت زیادی دارد (عزیزی و حنفی، ۱۳۸۹: ۶۰). چرا که، از عوامل مهم بروز ناپایداری و ریزش بارش‌های شدید به حساب می‌آیند. در این روش برآورد، که به روش همگرایی موسوم است، مقدار حدّاًکثر بارش محتمل بر اساس بیشینه‌سازی دمای نقطه شبنم و سرعت باد انجام می‌شود. بدین ترتیب که بر مبنای انتخاب حدّاًکثر توفان روی داده در یک منطقه و با لحاظ کردن ضرایب ناشی از آب قابل بارش، ارتفاع حدّاًکثر بارش محتمل، قابل محاسبه است (ذوق‌الفاری و همکاران، ۱۳۸۷: ۳۸۶). مقادیر حدّاًکثر بخار آب جوی مورد استفاده برای بیشینه-

سازی توفان، معمولاً از روی حداکثر تداوم ۱۲ ساعته دمای نقطه شبنم در سطح ۱۰۰۰ هکتوپاسکال برآورده می‌شود (WMO, 1986: 12). بر این پایه در پژوهش حاضر، جداکثر تداوم ۱۲ ساعته دمای نقطه شبنم توفان و میانگین فشار "QFE" از طریق داده‌های خام با فواصل زمانی سه ساعته از دو روز قبل از شروع توفان تا ۲۴ ساعت پس از اتمام آن برآورده گردید. سپس در روی نمودار  $T^{\text{Skew}}\text{-Mحل}$ <sup>۱</sup> برخورد دمای نقطه شبنم و متوسط فشار توفان، مشخص و در همین نقطه، نسبت اختلاط محاسبه گردید. در مرحله بعد، نقطه مورد نظر به موازات خط آدیاباتیک اشباع تا سطح ۱۰۰۰ هکتوپاسکال ادامه می‌یابد. نقطه حاصل در حقیقت بیشینه دمای نقطه شبنم برای توفان می‌باشد. نسبت اختلاط را در این سطح نیز برآورده می‌کنیم. شایان ذکر است این کار برای توفان‌های منتخب در دوره‌های بازگشت ۵۰ و ۱۰۰ ساله با استفاده از توزیع مناسب آماری صورت گرفت.

#### ۴-۳- بیشینه‌سازی جداکثر سرعت باد

با استفاده از داده‌های اولیه با فواصل زمانی سه ساعته، برای هر کدام از توفان‌های منتخب، جداکثر تداوم ۱۲ ساعته سرعت باد برای هر یک از ایستگاه‌ها از دو روز قبل از شروع توفان تا ۲۴ ساعت پس از اتمام آن محاسبه شد (عزیزی و حنفی، ۱۳۸۹: ۶۰). سازمان هوشناسی جهانی (WMO, 1986: 202) توصیه می‌کند به دلیل آن که افزایش سرعت باد الزاماً، به افزایش بارندگی منتهی نمی‌شود، بهتر است قبل از اعمال بیشینه سازی سرعت باد بر روی مقادیر بارندگی، مطالعاتی برای اعتبارسنجی رابطه افزایش سرعت باد و افزایش بارندگی به انجام برسد.

#### ۴-۴- محاسبه ضریب رطوبت

برای محاسبه ضریب رطوبت با استفاده از رابطه ابدیت ترتیب عمل شد که نسبت اختلاط حاصل در تراز ۱۰۰۰ هکتوپاسکال برای دوره‌های بازگشت ۵۰ و ۱۰۰ سال بر نسبت اختلاط در تراز ۱۰۰۰ هکتوپاسکال هر توفان در هر ایستگاه تقسیم شد تا ضریب رطوبت توفان مورد نظر به دست آید.

نسبت اختلاط دوره‌های بازگشت در تراز ۱۰۰۰ هکتوپاسکال

رابطه (۱)

= ضریب رطوبت

نسبت اختلاط توفان در تراز ۱۰۰۰ هکتوپاسکال

#### ۶-۳- تخمین جداکثر بارش محتمل به روش سینوپتیکی

در آخرین مرحله، همان‌طور که در بالا گفته شد، پس از اعمال ضرایب بیشینه‌سازی رطوبت و سرعت باد در مقدار متوسط بارش هر توفان در دوره‌های بازگشت ۵۰ و ۱۰۰ ساله، مقدار جداکثر بارش محتمل برای هر توفان و از آن جا مقدار جداکثر بارش محتمل برای استان کرمانشاه محاسبه گردید. در نهایت نقشه‌های سینوپتیکی- دینامیکی هوا، مربوط به سامانه‌های بارش زا، شامل نقشه‌های میدان‌های فشار، ارتفاع ژئوپتانسیل، مؤلفه‌های باد مداری و نصف‌النهاری و همچنین رطوبت نسبی، که با استفاده از نرم‌افزار گردس

<sup>۱</sup>- Skew Temperature Diagram or Skew-T Log-P diagram

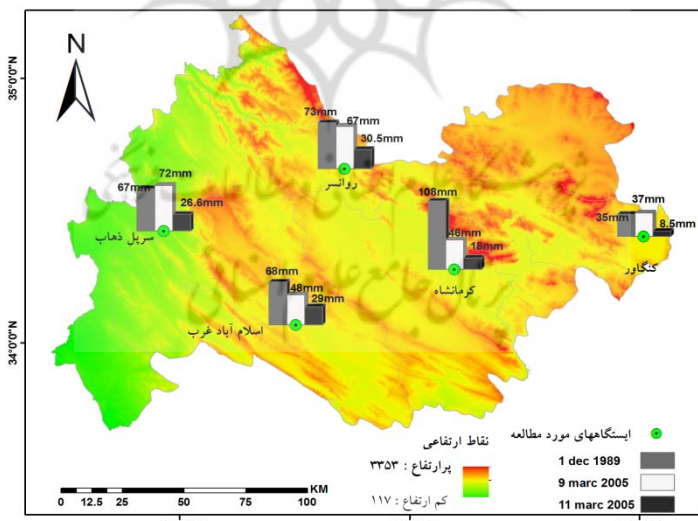
این نمودار، تصویری از دما، نقطه شبنم، فشار و باد جو را در یک نقطه معین از سطح زمین تا جداکثر ارتفاع ۱۶ کیلومتری از سطح دریا ارائه می‌دهد و این‌باری اساسی برای پیش‌بینی توفان‌های شدید و وضعیت هوای روزانه بهشمار می‌آید. در مورد این نمودار و نحوه استفاده از آن در اغلب منابع جدید اقلیمی توضیحاتی ارائه شده است که به عنوان نمونه می‌توانید به این آدرس اینترنتی مراجعه نمایید:

[http://www.esrl.noaa.gov/gsd/outreach/education/samii/SAMII\\_Activity4.html](http://www.esrl.noaa.gov/gsd/outreach/education/samii/SAMII_Activity4.html)

تهیه شده بودند، در ترازهای مختلف جو در خلال روزهای توفانی از روز شروع فعالیت سیستم تا خاتمه آن تجزیه و تحلیل شدند. داده‌های ترازهای مختلف جوی از مرکز ملی پیش‌بینی محیطی<sup>۱</sup> و مرکز ملی مطالعات جوی<sup>۲</sup> سازمان هواشناسی آمریکا اخذ گردید. مراحل کار در بیشینه‌سازی‌ها و محاسبه ضرایب درروش سینوپتیک و نیز سایر روش‌های برآورد حدّاًکثر بارش محتمل به طور کامل در ویرایش دوم‌گزارش شماره ۳۳۲ سازمان هواشناسی جهانی (WMO, 1986:269p.) تحت عنوان "راهنمای برآورد حدّاًکثر بارش محتمل، هیدرولوژی عملی" و نیز ویرایش سوم همان گزارش (WMO, 2009:259p.) توضیح داده شده است.

#### ۴- یافته‌های تحقیق

۴-۱- توزیع مکانی بارش توفان‌های منتخب و برآورده حدّاًکثر بارش محتمل به روش سینوپتیک پس از بررسی دقیق آمار روزانه بارش ایستگاه‌های استان (از بد تأسیس تاکنون)، تعداد سه توفان به عنوان شدیدترین توفان‌ها استخراج و اطلاعات نقطه‌ای سیلاب‌های ایستگاه‌ها با استفاده از نرم‌افزار ArcGIS به صورت نمودارهای استوکسی توأم با اعداد بارش‌های سیلابی، بر روی نقشه منطقه منتقل گردید (شکل ۲). همان‌طور که از مقدار بارش‌هادر نقشه ارتفاعی منطقه مشخص است، به نظر نمی‌رسد میزان بارش حاصل از توفان‌های رگباری در منطقه از ارتفاع تعیین کند. چرا که، بررسی رابطه بین ارتفاع با میزان بارش ایستگاه‌هاتوسط ضرایب تعیین (R2) معادلات رگرسیونی، از مقدار بسیار پایین این ضرایب حکایت داشت. از این‌رو شاید قرارگیری منطقه در مسیر سیکلون‌های غربی به‌ویژه در فصل سرد سال (فصل وقوع سه توفان منتخب)، عامل مهم‌تری در میزان دریافت بارش‌های سنگین در ایستگاه‌های منتخب استان باشد. چرا که، قصر شیرین با ارتفاع کم از بارش قابل توجهی برخوردار است. اما، کنگاور علی‌رغم دارا بودن ارتفاع بیشتر، بارش‌های بسیار کم‌تری دارد.



شکل ۲- میزان بارش رخداده در هر توفان برای ایستگاه‌های منتخب استان کرمانشاه (ترسیم از نگارندگان)

بر مبنای مطالعه گفته شده، مقادیر بیشینه‌سازی شده حدّاًکثر سرعت باد مربوط به توفان تاریخ ۱۰/۰۹/۱۳۶۸ (معادل با ۱۲/۰۱/۱۹۸۹ میلادی) به عنوان نمونه در جدول ۲ آورده شده است.

<sup>۱</sup>- National Centers for Environmental Prediction, (NCEP)

<sup>۲</sup>- National Center for Atmospheric Research, (NCAR)

جدول ۲- بیشینه‌سازی سرعت باد برای توفان تاریخ ۱۳۶۸/۰۹/۱۰ شمسی (معادل با ۱۹۸۹/۱۲/۰۱)

حداکثر ۱۲ ساعته سرعت باد در دوره بازگشت ۱۰۰ سال	ضریب حداکثر ۱۲ ساعته سرعت باد در دوره بازگشت ۵۰ سال	سرعت باد بیشینه سازی شده در دوره بازگشت ۱۰۰ سال	سرعت باد بیشینه- سازی شده در دوره بازگشت ۵۰ سال	حداکثر ۱۲ ساعته سرعت باد توفان	ایستگاه
۱/۹۶	۱/۵۵	۱۵/۷	۱۲/۴	۸	کرمانشاه
۱/۴۲	۱/۳۲	۲۷/۱	۲۵/۱	۱۹	اسلام آباد
۱/۴۸	۱/۲۰	۲۳/۸	۱۹/۳	۱۶	کنگاور
۲/۰۲	۱/۶۲	۱۴/۲	۱۱/۴	۷	روانسر
۱/۴۷	۱/۲۳	۲۰/۷	۱۸/۷	۱۴	سرارود
۱/۵۷	۱/۳۸	۲۶/۷	۲۳/۵	۱۷	سریل ذهاب
۱/۷۴	۱/۵۲				میانگین

به عنوان نمونه، نتایج بیشینه‌سازی دمای نقطه شبنم و نسبت اختلاط و مقادیر ضرایب رطوبت برآورد شده با رابطه ۱ در جدول ۳ ذکر شده است.

جدول ۳- بیشینه‌سازی دمای نقطه شبنم و نسبت اختلاط در سطح ۱۰۰۰ هکتوپاسکال

برای توفان تاریخ ۱۳۶۸/۰۹/۱۰ شمسی (معادل با ۱۹۸۹/۱۲/۰۱ میلادی)

ضریب رطوبت نیز	نسبت اختلاط		۱۲ ساعته ۱۰ ساله به		نسبت اختلاط		۱۲ ساعته ۵ ساله به سطح		نسبت اختلاط		۱۲ ساعته به سطح		ایستگاه- های سینوپتیک	
	۱۲ ساعته هکتوپاسکال		۱۲ ساعته سطح زمین		۱۲ ساعته هکتوپاسکال		۱۲ ساعته سطح زمین		۱۲ ساعته هکتوپاسکال		۱۲ ساعته سطح زمین			
	۱/۸۲	۱/۵	۷/۸	۱/۵	۸/۶	۱/۸۲	۱/۲	۷/۵	۸/۴	۱/۲	۸/۴	۵/۱	۷/۲	کرمانشاه
۱/۲۲	۱/۶	۸/۹	۱/۸	۸/۶	۹/۵	۱/۳	۸/۶	۸/۳	۱/۶	۸/۶	۵/۳	۹/۸	۴/۸	اسلام
۱/۲۰	۱/۵	۹/۳	۱/۹	۹/۱	۱/۲۲	۱/۲	۹/۲	۱/۶	۱/۶	۱/۳	۷/۹	۱/۲	۸/۶	کنگاور
۱/۶۲	۹/۶	۷/۵	۸/۹	۶/۸	۱/۹۲	۹/۳	۶/۳	۶/۳	۷/۶	۷/۵	۴/۹	۶/۳	۳/۵	روانسر
۱/۳۸	۸/۵	۷/۹	۱/۹	۷/۸	۱/۴۲	۸/۱	۷/۵	۷/۶	۱/۶	۸/۶	۵/۵	۸/۲	۵/۳	سرارود
۱/۱۲	۸/۶	۷/۶	۱/۶	۸/۵	۱/۱۲	۹/۳	۶/۲	۸/۳	۱/۲	۶/۶	۴/۵	۸/۱	۵/۳	-سریل-
۱/۶۵					میانگین		۱/۲۵							

در آخرین مرحله، همان‌طور که قبلاً نیز توضیح داده شد، پس از اعمال ضرایب بیشینه‌سازی رطوبت و سرعت باد در مقدار متوسط بارش هر توفان در دوره‌های بازگشت ۵۰ و ۱۰۰ ساله، مقدار حداکثر بارش محتمل برای هر توفان و از آن جا مقدار حداکثر بارش محتمل برای استان کرمانشاه در دو دوره بازگشت یادشده به دست آمد (جدول ۴).

جدول ۴- برآورد حدّاًکثر بارش محتمل بهروش سینوپتیک در استان کرمانشاه در دوره‌های بازگشت ۵۰ و ۱۰۰ ساله

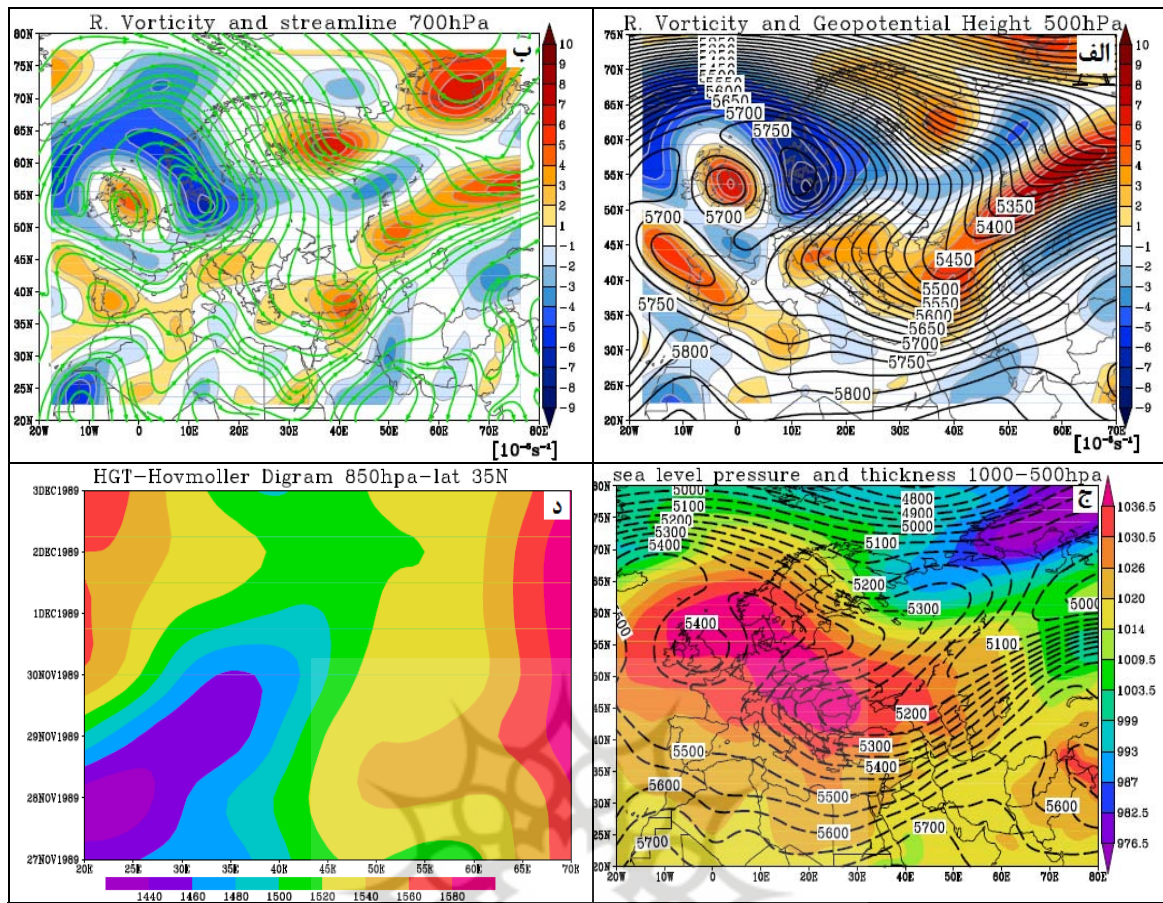
PMP ساله ۱۰۰	PMP ساله ۵۰	ضریب توفان	میزان بارندگی در سطح تجمعی به میلی‌متر	تاریخ توفان
۳۵۷	۲۸۷	۲/۷۳	۱۰۵	۱۹۷۰/۰۴/۲۸-۲۹-۳۰
۲۴۶	۱۶۴	۱/۶۸	۹۷/۶	۱۹۸۹/۱۲/۱-۲
۴۳۹	۳۴۰	۲/۸۲	۱۲۵/۵	۲۰۰۵/۰۳/۰۹-۱۰-۱۱

#### ۴-۲- تحلیل سینوپتیکی- دینامیکی نقشه‌های هوا

در این بخش برای بررسی و تحلیل سامانه‌های بارش‌زا با استفاده از نقشه‌های فشار سطح دریا، ارتفاع ژئوپتانسیل، مؤلفه‌های باد مداری و نصفالنهری، رطوبت نسبی و دمای سطوح مختلف جو، توفان رخ داده در تاریخ‌های ۱۱-۱۰/۰۹/۱۳۶۸- ۱۲/۱-۲ شمسی (معادل با تاریخ‌های ۱۹۸۹/۱۲/۱-۲ میلادی) از روز شروع تا پایان توفان به عنوان نمونه مورد بررسی قرار می‌گیرد. این کار با استفاده از نقشه‌های سطوح دریا، ۸۵۰، ۷۰۰، ۵۰۰ و ۲۰۰ هکتوپاسکال روزهای توفان انجام می‌شود.

#### ۴-۲-۱- تحلیل نقشه‌های ۱ دسامبر ۱۹۸۹ (روز آغاز بارش)

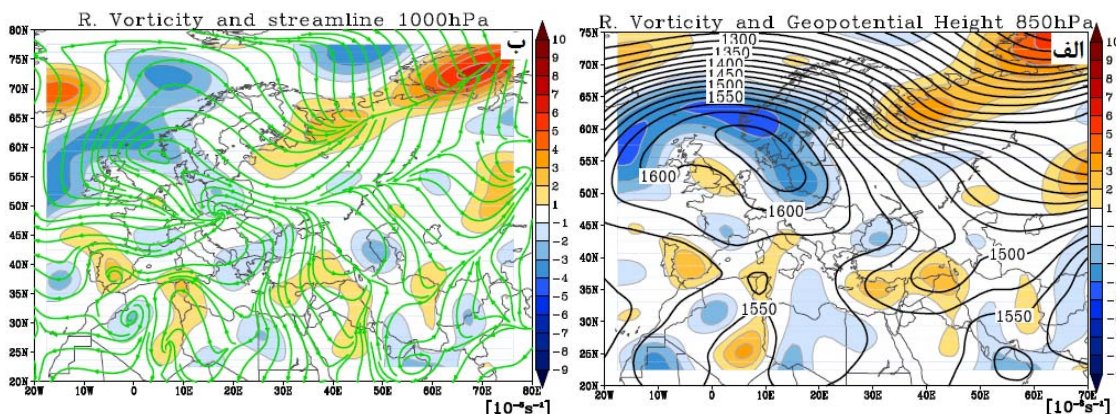
در پی فراهم شدن شرایط مناسب برای تشکیل سامانه بندالی امگا شکل بر روی شمال اروپا، کم ارتفاع شرقی و نسبتاً بزرگی که بر جانب شرقی دریای مدیترانه در اثر شکل گیری این سامانه تشکیل شده بود، با حرکت شرق‌سوی خود به نیمه غربی کشور رسیده و شرایط مناسبی را برای مناطق پیش روی خود جهت صعود دینامیکی هوا و ریزش‌های مناسب جوی به وجود آورده است(شکل ۳-الف)، به طوری که در ۱ دسامبر، بارش در منطقه مورد مطالعه آغاز شده است. جهت خطوط جريان‌های باد مداری و نصفالنهری هماهنگی بسیار زیادی با منحنی‌های تاوایی دارند؛ به طوری که مقدار تاوایی نسبی در شمال منطقه مورد مطالعه در تراز ۷۰۰ هکتوپاسکال به بیش از ۶×۱۰-۵ متر بر ثانیه رسیده است(شکل ۳-ب). وضعیت فشار سطح دریا بر روی نیمه غربی کشور به گونه‌ای است که با توجه به دمای سطح زمین، شرایط مناسبی برای صعود دینامیکی کم‌فشارها ایجاد شده است. فشار مذکور بین ۱۰۱۰-۱۰۱۵ هکتوپاسکال می‌باشد. خطوط منحنی‌های ضخامت جو بین ۵۰۰-۱۰۰۰ هکتوپاسکال بر روی منطقه مذبور منبسط و از هم باز شده‌اند که نشان‌دهنده دمای مناسب منطقه و شرایط مساعدتر برای صعود دینامیکی است (شکل ۳-ج). بررسی وضعیت ارتفاع ژئوپتانسیل در تراز ۵۰۰ هکتوپاسکال، نشان‌دهنده شکل گیری یک سامانه بندالی امگا شکل بر روی شمال اروپاست که مرکز پر ارتفاع آن بر روی شرق اطلس، و قسمت کم ارتفاع شرقی آن، منطقه مورد مطالعه و کشورهای هم‌جوار ایران را تحت تأثیر قرار داده است. یال شرقی این سامانه با فعالیت مناسب در نیمه غربی کشور شرایط مساعدی را برای ریزش‌های جوی ایجاد کرده است؛ به طوری که مقدار تاوایی آن در مرزهای غربی کشور در تراز ۵۰۰ هکتوپاسکال به بیش از ۶×۱۰-۵ متر بر ثانیه رسیده است (شکل ۳-الف). با بررسی نمودار هاومول ارتفاع ژئوپتانسیل تراز ۸۵۰ هکتوپاسکال در روزهای اوّل و دوم دسامبر به خوبی می‌توان مشاهده کرد که در طی روزهای توفانی و بارندگی‌های شدید در استان کرمانشاه، کم ارتفاعی با کم تراز ۱۴۸۰ ژئوپتانسیل متر بر روی طول‌های ۳۵-۴۰ درجه شرقی گسترش یافته که منطقه مورد مطالعه دقیقاً در جلوی این سامانه یعنی در طول‌های ۴۵-۴۸ درجه شرقی قرار گرفته است (شکل ۳-د).



شکل ۳- (الف) وضعیت ارتفاع ژئوپتانسیل و تاوایی نسبی در تراز ۵۰۰ هکتوپاسکال؛ (ب) وضعیت جریان‌های باد و تاوایی نسبی در تراز ۷۰۰ هکتوپاسکال؛ (ج) سطح دریا و همچنین ضخامت ۵۰۰-۱۰۰۰ هکتوپاسکال؛ وضعیت ارتفاع ژئوپتانسیل و تاوایی نسبی در تراز ۵۰۰ هکتوپاسکال؛ و (د) نمودار هامولر ارتفاع ژئوپتانسیل تراز ۸۵۰ هکتوپاسکال در عرض ۳۵ درجه شمالی در روزهای ۲۷ نوامبر تا ۳ دسامبر ۱۹۸۹. تاوایی نسبی بر حسب ۱۰-۵S-۱۰؛ و ارتفاع ژئوپتانسیل بر حسب متر می‌باشد. نقشه‌های (الف)، (ب) و (ج) مربوط به ۱ دسامبر ۱۹۸۹ می‌باشند.

در بررسی وضعیت ارتفاع ژئوپتانسیل تراز ۸۵۰ هکتوپاسکال مشاهده شد که مرکز پرارتفاع بر روی شمال اروپا شکل گرفته و موقعیت زبانه‌های کمارتفاع سبب شده است تا منطقه مورد مطالعه در قسمت شرقی آنها قرار گیرد و شرایط مساعدی برای آغاز ریزش‌های جوی در نیمه غربی کشور به خصوص استان کرمانشاه فراهم شود (شکل ۴-الف).

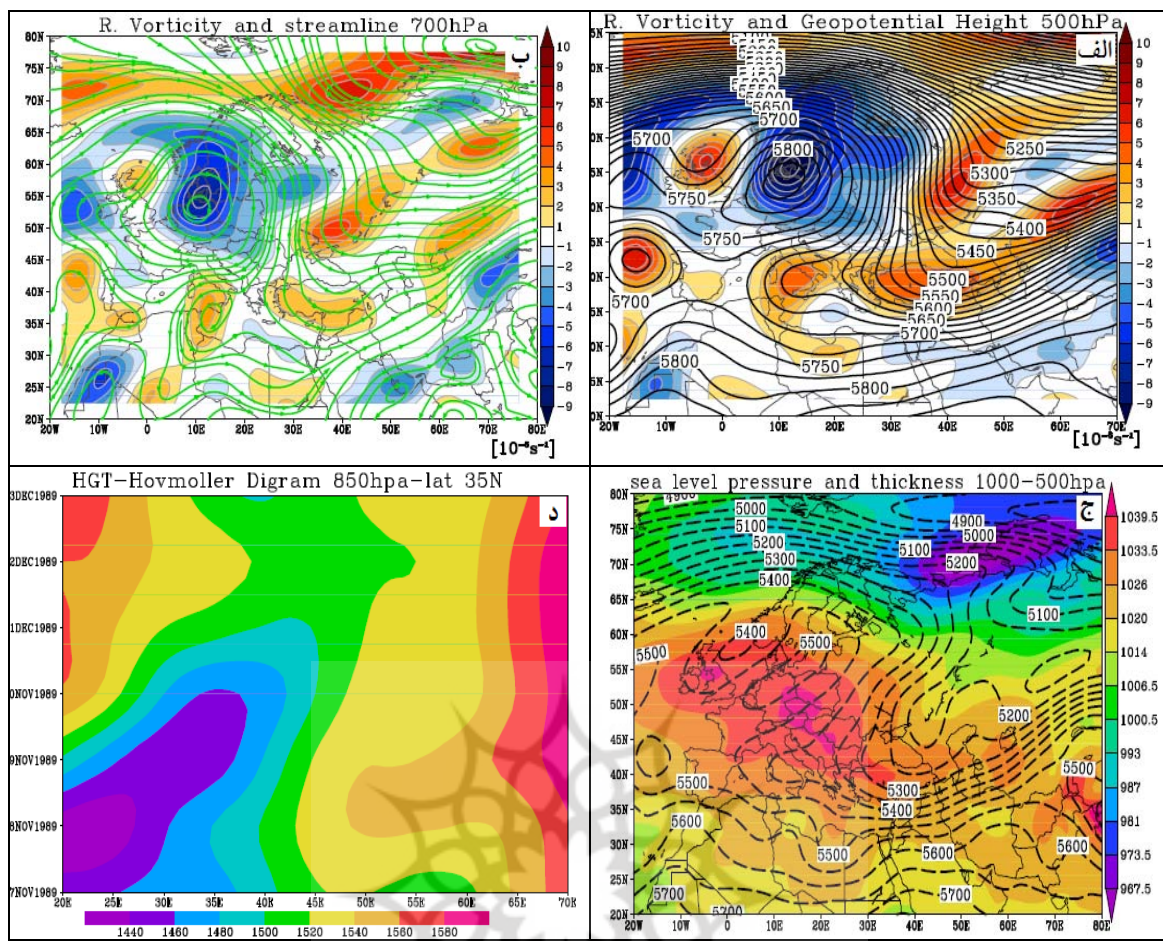
شکل ۴- ب مقادیر متوسط تاوایی را برای روز ۱ دسامبر ۱۹۸۹ در تراز ۱۰۰۰ هکتوپاسکال نشان می‌دهد. با توجه به این شکل، مرکز کمارتفاعی که در تراز ۵۰۰ هکتوپاسکال شکل گرفته و با حرکت شرق‌سوی خود، در حوالی طول جغرافیایی  $46^{\circ}$  شرقی واقع شده است، وضعیت دینامیکی مناسبی را برای صعود و ایجاد بارش فراهم کرده است. حداکثر تاوایی مثبت در منطقه مورد مطالعه به میزان  $4 \times 10^{-5}$  بر ثانیه در تراز ۱۰۰۰ هکتوپاسکال مشاهده می‌شود.



شکل ۴- (الف) وضعیت متوسط ارتفاع ژئوپتانسیل، تاوایی نسبی و الگوی گردش مؤلفه‌های باد نصفالنهاری و مداری در تراز ۸۵۰ هکتوپاسکال. (ب) شرایط رطوبت نسبی، درجه حرارت و میدان‌های باد تراز ۱۰۰۰ هکتوپاسکال؛ و (ج) مقطع قائم تاوایی نسبی در امتداد عرض ۳۴° شمالی. تاوایی نسبی بر حسب  $10^{-5} \text{ s}^{-1}$  و ارتفاع بر حسب ژئوپتانسیل متر، درجه حرارت بر حسب درجه سلسیوس، رطوبت نسبی بر حسب درصد و میدان‌های باد بر حسب کیلومتر در ساعت می‌باشد. همه نقشه‌های فوق مربوط به ۱ دسامبر ۱۹۸۹ می‌باشند.

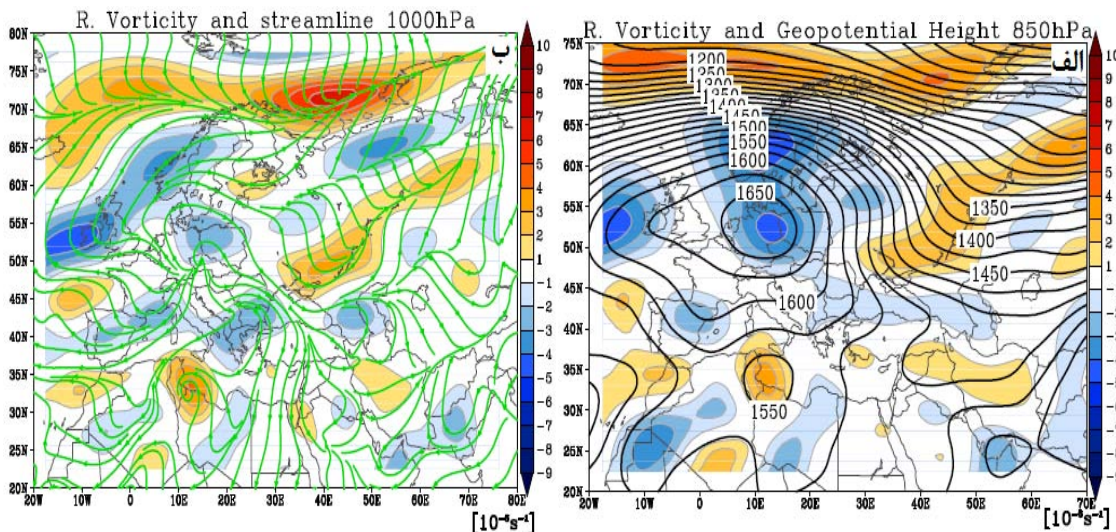
#### ۲-۲-۴- تحلیل نقشه‌های ۲ دسامبر (دومین روز بارش)

در این روز بیشترین مقدار بارش ثبت شده در ایستگاه کنگاور ۱۷ میلی‌متر و کمترین آن در ایستگاه سرپل‌ذهاب ۲ میلی‌متر ثبت شده است. بررسی نقشه‌های تاوایی و ارتفاع ژئوپتانسیل متری در این روز نشان می‌دهد که با کشیده شدن زبانه‌های مرکز کمارتفاع شکل گرفته بر روی شرق مدیترانه در روز قبل (۱ دسامبر) به‌سمت بالا، از میزان تاوایی نیز کاسته شده است؛ بهطوری که میزان تاوایی در شمال منطقه به  $10 - 5 \times 10^{-5} \text{ s}^{-1}$  رسیده است. در نتیجه کشیده شدن زبانه یال شرقی سامانه بندالی امگا شکل و کاهش تاوایی مثبت در منطقه، از میزان صعود دینامیکی هوا نسبت به روز قبل و در نتیجه از شدت بارش‌ها کاسته شده و میزان بارندگی کمتری در منطقه ثبت شده است (شکل ۵-الف). با بررسی نمودار هاومول ارتفاع ژئوپتانسیل تراز ۸۵۰ هکتوپاسکال در روزهای ۲۷ نوامبر تا ۳ دسامبر ۱۹۸۹ به خوبی می‌توان مشاهده کرد که در طی روزهای توفانی و بارندگی-های شدید در استان کرمانشاه، کمارتفاعی با کمتر از  $1480$  ژئوپتانسیل متر بر روی طول‌های  $35 - 40$  درجه شرقی گسترش یافته است. ولی، در روز بعد، بر میزان ارتفاع ژئوپتانسیل متر افزوده شده است؛ بهطوری که میزان ارتفاع ژئوپتانسیل متر بر روی طول‌های  $35 - 40$  درجه شرقی به  $1520$  متر رسیده که منطقه مورد مطالعه به طور دقیق در جلوی این سامانه یعنی در طول‌های  $48 - 45$  درجه شرقی قرار گرفته است (شکل ۵-ب). همچنانی بررسی همزمان میزان فشار سطح دریا نشان داد که در این روز میزان فشار سطحی نسبت به روز قبل افزایش یافته است. در این روز زبانه‌های پرفشار  $1020$  تا  $1026$  هکتوپاسکالی، سطح زمین استان کرمانشاه را تحت تأثیر قرار داده است که نسبت به روز قبل  $10$  هکتوپاسکال افزایش فشار مشاهده می‌شود. در نتیجه این افزایش فشار در منطقه، عامل صعود سطحی نیز کاهش یافته است (شکل ۵-ج). نقشه استریم-لاین و تاوایی نسبی سطح  $700$  هکتوپاسکال نیز بیان گر کاهش میزان تاوایی در نزدیکی منطقه مورد مطالعه است. همچنانی بادها با جهت شمال‌غربی-جنوب‌شرقی و جنوب‌غربی-شمال‌شرقی به منطقه مورد مطالعه وارد شده است که این نشان‌دهنده تأمین رطوبت این بارش از منابعی چون دریای سرخ و دریای مدیترانه است (شکل ۵-ب).



شکل ۵- (الف) وضعیت ارتفاع ژئوپتانسیل و تاوایی نسبی در تراز ۵۰۰ هکتوپاسکال؛ (ب) وضعیت جریان‌های باد و تاوایی نسبی در تراز ۷۰۰ هکتوپاسکال؛ (ج) فشار سطح دریا و همچنین ضخامت ۱۰۰۰-۵۰۰ هکتوپاسکال؛ وضعیت ارتفاع ژئوپتانسیل و تاوایی نسبی در تراز ۵۰۰ هکتوپاسکال؛ و (د) نمودار هاومولر ارتفاع ژئوپتانسیل تراز ۸۵۰ هکتوپاسکال در عرض ۳۵ درجه شمالی در روزهای ۲۷ نوامبر تا ۳ دسامبر ۱۹۸۹. تاوایی نسبی بر حسب  $-10 - 5S - 10$  و ارتفاع ژئوپتانسیل بر حسب متر می‌باشد. نقشه‌های (الف)، (ب) و (ج) مربوط به ۲ دسامبر ۱۹۸۹ می‌باشند.

در تراز ۸۵۰ هکتوپاسکال مشاهده شد که زبانه‌های شرقی مرکز کم ارتفاع سامانه امگا شکل، منطقه مورد مطالعه را تحت تأثیر قرار داده است که هرچند نسبت به روز قبل به سمت شمال جابه جا شده است؛ ولی، شرایط لازم برای صعود هوا و ریزش‌های جوی را فراهم کرده است. با این وجود بهدلیل فاصله گرفتن از منطقه مورد مطالعه و از طرف دیگر افزایش میزان ارتفاع ژئوپتانسیل متر در هسته پرارتفاع، سبب کاهش شدت صعود و به تبع آن کاهش چشم‌گیر شدت بارندگی‌ها شده است؛ به طوری که در ایستگاه کرمانشاه نسبت به روز قبل،  $10.5$  میلی‌متر کاهش بارندگی ثبت شده است. بررسی وضعیت تاوایی نسبی نیز بیان گر کاهش آن نسبت به روز قبل است؛ به طوری که در این روز حداکثر تاوایی مثبت بر روی استان کرمانشاه به  $2 \times 10^{-5}$  رسیده است (شکل ۶-الف). بررسی خطوط منحنی‌های جریان باد مشخص کرد که در این روز همچنان از سمت شمال غرب و غرب، رطوبت به منطقه تزریق می‌شده است. در روز ۲ دسامبر میانگین درجه حرارت در تراز ۱۰۰۰ هکتوپاسکال بر روی استان کرمانشاه بین  $20 - 25$  درجه سلسیوس بوده است (شکل ۶-ب).



شکل ۶- (الف) وضعیت متوسط ارتفاع ژئوپتانسیل، توایی نسبی در تراز ۸۵۰ هکتوپاسکال. (ب) استریم لاین و میدان‌های باد تراز ۱۰۰۰ هکتوپاسکال؛ توایی نسبی بر حسب  $10^{-5} - 10^{-4}$  و ارتفاع ژئوپتانسیل بر حسب متر می‌باشد. همه نقشه‌های فوق مربوط به ۲ دسامبر ۱۹۸۹ می‌باشند.

## ۵- خلاصه و نتیجه‌گیری

در این پژوهش برای برآورد حدّاًکثر بارش محتمل به روش سینوپتیکی در استان کرمانشاه تعداد ۳ توفان انتخاب و پس از برآورد مقادیر بارش محتمل، الگوهای سینوپتیکی مربوطه از روز شروع تا خاتمه آن مورد تجزیه و تحلیل قرار گرفتند. با توجه به نقشه توفان‌های منتخب (شکل ۲) و همچنین نتایج محاسبات رگرسیونی به نظر می‌رسد که میزان بارش‌های رگباری در منطقه، قبل از آن که از ارتفاع تعییت کند، از قرارگیری منطقه در مسیر سیکلون‌های غربی به ویژه در فصل سرد سال (فصل وقوع سه توفان منتخب) متاثر می‌شود. با استفاده از بیشینه‌سازی‌های سرعت باد (جدول ۲) و حدّاًکثر دمای نقطه شبنم (جدول ۳) بر مبنای توزیع آماری مناسب، مقادیر حدّاًکثر بارش محتمل در دوره‌های بازگشت ۵۰ و ۱۰۰ سال بر حسب مورد از ۱۶۴ تا ۴۳۹ میلی‌متر برآورد گردید (جدول ۴). این ارقام، در مقایسه با مقادیر برآورده شده توسط عزیزی و حنفی (۱۳۸۹: ۶۴) در حوضه آبریز آجی‌چای واقع در شمال‌غرب کشور (۶۸ تا ۱۲۹ میلی‌متر) و ذوالفاری و همکاران (۱۳۸۷: ۳۸۷) در کویر میقان ارکوایع در استان مرکزی (۸۸ تا ۱۷۴ میلی‌متر) بسیار زیاد به نظر می‌رسد. شاید این امر بی‌ارتباط با نحوه تغذیه رطوبتی توفان‌های منطقه غرب کشور از منابع آبی مجاور و عبور بیشتر سیکلون‌ها از این منطقه نباشد. البته این خود نیازمند تحقیقات بیشتری است.

تحلیل نقشه‌های ترکیبی توفان‌های منتخب نشان داد که منطقه، تحت تأثیر سامانه کم ارتفاع دینامیکی ناشی از سامانه بندالی امکاً شکل قرار داشته که سبب بارندگی‌های شدید در استان کرمانشاه شده است. این مسئله با یافته‌های عزیزی و همکاران (۱۳۹۱: ۱۰۹) و حبیبی (۱۳۸۶: ۱۰۹) در زمینه نقش سامانه‌های بندالی در شکل‌گیری بارش‌های شدید در شمال‌شرق و غرب ایران مطابقت دارد. سامانه مذکور، متشکّل از یک سامانه پر ارتفاع بر فراز اروپا و دو سامانه کم ارتفاع در طرفین آن می‌باشد که یال شرقی آن منطقه مورد مطالعه را تحت تأثیر قرار داده است. بررسی نقشه‌های میدان‌های باد مداری و نصف‌النهاری سطوح مختلف جو به ویژه ۸۵۰ هکتوپاسکال نشان داد که دریای سرخ، خلیج فارس و شرق دریای مدیترانه رطوبت لازم را برای این سامانه‌های بارش‌زا تأمین می‌کرده‌اند. وضعیت توایی در ترازهای مختلف هکتوپاسکالی نیز حاکی از شرایط

بسیار مناسب برای صعود دینامیکی جو و تشکیل ابر بوده است؛ به‌طوری‌که در طی روزهای توفانی، مقدار ابرناکی بین ۷۰ تا ۱۰۰ درصد متغیر بوده و هماهنگی کاملی با نواحی حرکت مثبت تاوای (صعود هوا) داشته است. همچنین بررسی نمودار هاومولر آب قابل بارش در عرض ۳۴ درجه شمالي در روزهای ۲۷ نومبر تا ۳ دسامبر ۹۸۹ نشان داد که محتوای آب قابل بارش زیادی بین طولهای ۴۵-۴۰ درجه شرقی وجود داشته که باعث ریزش‌های جوی بسیار مناسبی در نیمه غربی کشور بوده استان کرمانشاه شده است. در نتیجه شکل‌گیری سامانه بندالی و تشدید جریانات نصف‌النهاری بادهای غربی، یال شرقی آن قوی‌تر شده و با قرار گیری بر روی منطقه مورد مطالعه (تشدید تاوای مثبت و منطقه صعود هوا)، شرایط لازم را برای شکل‌گیری توفان فراهم آورده است. همچنین بررسی نقشه‌های استریم‌لاین تراز ۷۰۰ هکتوباسکال بیان‌گر ورود جریانات هوا با جهت شمال‌غربی- جنوب‌شرقی و جنوب‌غربی- شمال‌شرقی است که با توجه به حرکت آنها از روی منابع رطوبتی اطراف همچون دریای سرخ و دریای مدیترانه، باعث شکل‌گیری بارش‌های سنگین در منطقه شده است. به‌نظر می‌رسد که در مطالعات آتی برای محاسبه آب قابل بارش و برآورد حدّاکثر بارش محتمل، بهره‌گیری از مدل‌های جهانی و منطقه‌ای گردش عمومی جو، تصاویر ماهواره‌ای و داده‌های راداری در روش‌شن شدن ابعاد دقیق مسئله کمک شایان توجهی نماید.



## ۶- منابع

- ۱- حبیبی، فریده، (۱۳۸۵)، تحلیل همدیدی و دینامیکی سامانه‌های بندالی، روش تشخیص ساماً، نه بندالی و تأثیر آن روی منطقه ایران، مجله فیزیک زمین و فضا، ۳(۳): ۶۹-۸۹.
- ۲- حبیبی، فریده، (۱۳۸۶)، نقش سامانه‌های بندالی در چرخندزایی روی شرق دریای مدیترانه و بررسی نقش آن در سیل روی منطقه غرب ایران در مارس ۲۰۰۰، پژوهش‌های جغرافیایی، ۲، ۶۲: ۱۰۹-۱۲۷.
- ۳- خلجی پیربلوطی، مهدی و علیرضا سپاسخواه، (۱۳۸۱)، رسم منحنی‌های حدآکثر بارش محتمل ۲۴ ساعته با روش‌های مختلف آماری و مقایسه آن با روش سینوپتیکی برای ایران، مجله علوم و فنون کشاورزی و منابع طبیعی، علوم آب و خاک، ۶(۱): ۱۱-۱۶.
- ۴- خلیلی، علی، (۱۳۸۱)، برآورد حدآکثر بارش محتمل آماری در سطح زمانی استاندارد در گستره ایران و پهنه‌بندی کشور از دیدگاه قانونمندی‌های آن، معاونت پژوهشی و آموزشی وزارت راه و ترابری سازمان هواشناسی کشور.
- ۵- ذوالفاری، مرتضی، محمدناصر هاشمی و مازیار مجیدی، (۱۳۸۷)، برآورد حدآکثر بارش محتمل حوزه آبخیز کویر میقان (اراک) با استفاده از روش همگراء، سیزدهمین کنفرانس ژئوفیزیک ایران.
- ۶- سلطانی، محسن، علی حنفی و اسلام یاری، (۱۳۸۷)، برآورد حدآکثر بارش محتمل بهروش آماری هرشفیلد در شهر تهران، مجموعه مقالات سومین همایش مقابله با سوانح طبیعی، دانشکده فنی و مهندسی عمران، دانشگاه تهران.
- ۷- صالحی پاک، تهمینه، (۱۳۷۸)، برآورد حدآکثر بارش محتمل حوضه سد ماملو بهروش سینوپتیکی، پایان‌نامه کارشناسی ارشد جغرافیای طبیعی، دانشکده ادبیات و علوم انسانی، دانشگاه تربیت معلم تهران، ص ۱۷.
- ۸- صدقی، حسین و بایک علیزاده، (۱۳۸۷)، آنالیز حساسیت برای حدآکثر سیل محتمل، چهارمین کنگره ملی مهندسی عمران، دانشگاه تهران، تهران.
- ۹- عباسی، افسانه و هوشینگ قائمی، (۱۳۹۲)، برآورد حدآکثر بارش محتمل بهروش سینوپتیکی در حوضه آبریز رودخانه کرج، جغرافیا و برنامه‌ریزی، ۴۳(۱۷): ۱۴۵-۱۶۸.
- ۱۰- عزیزی، قاسم و علی حنفی، (۱۳۸۹)، برآورد حدآکثر بارش محتمل آجی‌چای بهروش سینوپتیکی، مطالعات جغرافیایی مناطق خشک، ۲: ۵۵-۷۱.
- ۱۱- عزیزی، قاسم، سید امید نبوی و مرتضی میری، (۱۳۹۱)، داده‌کاوی گردش‌های جوئی برای بررسی نقش الگوهای بندالی در ایجاد بارش‌های شمال شرق ایران، پژوهش‌های جغرافیای طبیعی، ۴۴(۳): ۹۰-۱۰۹. ۱۲۶.
- ۱۲- فتاحی، ابراهیم و مریم ادراکی، (۱۳۸۹)، برآورد حدآکثر بارش محتمل بر اساس روش سینوپتیکی- همگرایی در حوضه رودخانه بختیاری، همایش کاربرد جغرافیای طبیعی در برنامه‌ریزی محیطی.
- ۱۳- فتاحی، ابراهیم و هوشینگ قائمی، (۱۳۸۶)، ارزیابی روش‌های برآورد حدآکثر بارش محتمل در ایستگاه-های منتخب جنوب غرب ایران، دومین همایش مقابله با سوانح طبیعی.
- ۱۴- مشایخی، شهرام، (۱۳۸۰)، برآورد حدآکثر بارش محتمل بهروش فیزیکی و آماریو مقایسه این دو روش برای منطقه البرز مرکزی، پایان‌نامه کارشناسی ارشد، دانشکده کشاورزی، دانشگاه تهران.

- 15- Campos, A., and Francisco, D., (1998), *Statistical Estimate of PMP in San Luis Potosi, Mexico*, Ingenieria Hidraulica en Mexico, 13: 45-66.
- 16- Collier, C. G., and Hardaker, P. J., (1996), *Estimating Probable Maximum Precipitation Using a Storm Model Approach*, Journal of Hydrology, 183(3-4): 277-306.
- 17- Douglas, E. M., and Barros, A. P., (2003), *Probable Maximum Precipitation Estimation Using Multifractals: Application in the Eastern United States*, Journal of Hydrometeorology, 4(6): 1012-1024.
- 18- Ohara, N., Kavvas, M., Kure, S., Chen, Z., Jang, S., and Tan, E., (2011), *Physically Based Estimation of Maximum Precipitation over American River Watershed, California*, Journal of Hydrologic Engineering, 16(4): 351-361.
- 19- Rakhecha, P. R., and Clark, C., (1999), *Revised Estimates of One-day Probable Maximum Precipitation (PMP) for India*, Meteorological Applications, 6(4): 343-350.
- 20- Rakhecha, P. R., and Clark, C., (2000), *Point and Areal PMP Estimates for Durations of Two and Three Days in India*, Meteorological Applications, 7(1): 19-26.
- 21- Rakhecha, P. R., Mandal, B. N., Kulkarni, A. K., and Deshpande, N. R., (1995), *Estimation of Probable Maximum Precipitation for Catchments in Eastern India by a Generalized Method*, Theoretical and Applied Climatology, 51(1-2): 67-74.
- 22- Svensson, C., and Rakhecha, P. R., (1998), *Estimation of Probable Maximum Precipitation for Dams in the Hongru River Catchment, China*, Theoretical and Applied Climatology, 59: 79-91.
- 23- Tingsanchali, T., and Tanmanee, S., (2012), *Assessment of Hydrological Safety of Mae Sruai Dam, Thailand*, Procedia Engineering, 32: 1198-1204.
- 24- World Meteorological Organization (WMO), (1986), *Manual for Estimation of Probable Maximum Precipitation*, Second Edition, Operational Hydrology, Report No. 1, WMO No. 332, Geneva, 269 p.
- 25- World Meteorological Organization (WMO), (2009), *Manual on Estimation of Probable Maximum Precipitation*, WMO No. 1045, Geneva, 259 p.

پژوهشگاه علوم انسانی و مطالعات فرهنگی  
پرستال جامع علوم انسانی